

## تغییرات ناحیه جداسدگی جریان در ورودی کانال های آبگیر با کاربرد صفحات مستغرق

آزاده جمشیدی<sup>\*</sup>، داود فرسادی زاده<sup>۱</sup>، علی حسین زاده دلیر<sup>۲</sup>

تاریخ دریافت: ۹۳/۰۵/۱۸ تاریخ پذیرش: ۹۴/۰۳/۲۰

۱- کارشناس ارشد سازه های آبی

۲- استاد گروه مهندسی آب، سازه های آبی، دانشگاه تبریز

۳- استاد گروه مهندسی آب، سازه های آبی، دانشگاه تبریز

\* مسئول مکاتبات، پست الکترونیکی: jamshidi.azade@yahoo.com

### چکیده

جداسدگی جریان در دیواره بالادست کانال آبگیر از جمله مشکلاتی است که همواره در آبگیرها وجود داشته و باعث ایجاد ناحیه ای با جریان چرخشی در ورودی آبگیر می شود. این ناحیه عرض مؤثر جریان عبوری و راندمان آبگیری را کاهش و رسوب گذاری در دهانه آبگیر را افزایش می دهد. بنابراین شناخت ابعاد ناحیه جداسدگی جریان در ابتدای کانال های آبگیر حائز اهمیت است. از جمله روش های اجرا شده به منظور کاهش ابعاد ناحیه جداسدگی استفاده و نصب صفحات مستغرق هست. در این تحقیق، با کاربرد ۵ حالت مختلف نصب صفحات مستغرق در جلوی دهانه آبگیر، تأثیر نوع آرایش آنها بر ابعاد ناحیه جداسدگی جریان در کانال آبگیر با ۴ دبی ورودی ۱۵، ۲۰، ۲۵ و ۳۰ لیتر بر ثانیه موردنبررسی قرار گرفت. صفحات مستغرق با آرایش کاجی به عنوان بهترین مدل به منظور کاهش ابعاد ناحیه جداسدگی جریان و ایجاد پروفیل مناسب در کانال های اصلی و فرعی انتخاب شد. این مدل در دبی های ۱۵، ۲۰، ۲۵ و ۳۰ لیتر بر ثانیه طول ناحیه جداسدگی را به ترتیب  $32/53\%$ ،  $32/37\%$ ،  $34/34\%$  و  $30/72\%$  و عرض ناحیه جداسدگی را به ترتیب  $27/46\%$ ،  $27/33\%$ ،  $31/31\%$  و  $30/30\%$  نسبت به آزمایش های شاهد کاهش داد. بررسی نتایج نشان داد تغییرات نسبت عرض به طول ناحیه جداسدگی (شاخص شکل ناحیه) در همه مدل ها تقریباً بین دو مقدار  $0/0$  تا  $0/28$  است.

واژه های کلیدی: شاخص شکل ناحیه، صفحات مستغرق، کانال آبگیر، ناحیه جداسدگی جریان

## Variations of Flow Separation Zone at Lateral Intakes Entrance Using Submerged Vanes

A Jamshidi<sup>1\*</sup>, D Farsadizadeh<sup>2</sup>, A Hosseinzadeh Dalir<sup>3</sup>

Received: 9 August 2014 Accepted: 10 June 2015

1-M.sc. Student of water structure, Faculty of Agric., Univ. of Tabriz, Iran

2- Prof., Dept. of Water Eng., Faculty of Agric., Univ. of Tabriz, Iran

3-Prof., Dept. of Water Eng., Faculty of Agric., Univ. of Tabriz, Iran

\*Corresponding Author Email: jamshidi.azade@yahoo.com

### Abstract

Flow Separation in the upstream of the intake channel is a problem which produces an eddy flow at the intake entrance. It reduces the intake efficiency and the effective width of flow in intake and increases the sediment deposition in the intake entrance. Therefore, it is essential to identify the dimensions of the flow separation zone. Installation of submerged vanes in intake entrance is a method which has been applied to reduce the size of flow separation zone. In this research, the effects of submerged vanes on the dimensions of flow separation zone were investigated using five models of submerged vanes with different arrangement in four discharges of 15, 20, 25 and 30  $Ls^{-1}$  in the main channel entrance. The Piney arrangement of submerged vanes was selected as the best model that reduced the size of flow separation zone and established a proper flow profile in the main channel and intake entrance. Comparing with the pilot model tests, this model reduced the length and width of flow separation zone 36.34%, 32.53%, 34.37%, 30.72% and 27.46%, 31%, 31.33%, 30% at four different discharges of 15, 20, 25 and 30  $Ls^{-1}$ , respectively. Results showed that the ratio of width to length of separation zone (shape index of zone) was between two values 0.2 and 0.28 in the all models.

**Keywords:** Flow separation zone, Intake channel, Shape index of zone, Submerged vanes

عرضی شتاب گرفته و به دو قسمت تقسیم می‌شود. قسمتی وارد آبگیر شده و بقیه در کanal اصلی پایین‌دست جریان می‌یابد. قسمتی که وارد کanal انشعاب می‌شود، توسط صفحه برشی خمیده‌ای معین می‌گردد که به صفحه تقسیم‌کننده جریان معروف است. جریانی که وارد آبگیر می‌شود، دارای مومنت شدیدی در جهت کanal اصلی بوده و به همین علت داخل آبگیر، جدایی جریان اتفاق می‌افتد (منتصری و همکاران ۱۳۸۸).

### مقدمه

یکی از قدیمی‌ترین روش‌های استفاده از آب رودخانه‌ها، ساخت آبگیرهای جانبی هست. از جمله نکات مهم در طراحی آبگیرهای جانبی این است که شرایطی انتخاب شود تا آب منحرف شده توسط آبگیر، دارای بیشینه دبی جریان و کمینه دبی رسوب باشد. با نزدیک شدن جریان به آبگیر واقع در مسیر مستقیم، به خاطر فشار منفی اعمالی از طرف آبگیر، جریان در جهت

جداشدگی، حدود ۵۵ درجه به دست آوردند. رامامورتی و همکاران (۲۰۰۷)، به مطالعه عددی و آزمایشگاهی جریان‌های سه‌بعدی در محل تقسیم مجاری روباز در فلومی با انشعاب ۹۰ درجه و دارای عرض برابر با کanal اصلی در ۵ نسبت دبی پرداختن. مشاهدات نشان-گر کاوش ابعاد ناحیه جداشدگی جریان به‌ازای افزایش نسبت دبی بوده است. همچنین منطقه جداشدگی جریان در بستر کanal در مقایسه با منطقه جدائی در سطح آب کوچکتر بوده است. صمیمی بهبهان (۲۰۱۱)، تأثیر شکل صفحات مستغرق به‌منظور حفاظت سواحل رودخانه را مورد بررسی قرار داد و داده‌های آزمایشگاهی را به کمک نرم‌افزارهای ANSYS و SURFER مدل‌سازی کرد. نتایج نشان داد صفحات به شکل‌های انحنا و زاویه‌دار (داشتن زاویه با جهت جریان ۳۵ و ۲۰ درصد بیشتر نسبت به حالت کاربرد صفحات صاف در حفاظت از سواحل رودخانه‌ها مؤثر می‌باشد. عباسی و همکاران (۱۳۸۳) ابعاد ناحیه گردابی در ابتدای کanal آبگیر جانبی را به کمک تحلیل داده‌های سرعت تعیین کردند. آن‌ها نشان دادند مهم‌ترین عامل در ابعاد این ناحیه نسبت آبگیری هست و با افزایش آن، ابعاد ناحیه جداشدگی کاهش می‌یابد. همچنین نقش عدد فرود جریان در شکل‌گیری ناحیه گردابی ناچیز هست. سپس نتایج به‌دست‌آمده را با نتایج آزمایش‌های کاستوری و پانداریکانتان (۱۹۸۷) که تحقیقات خود را برای زاویه آبگیری ۹۰ درجه و با نسبت عرض کanal آبگیر به کanal اصلی برابر ۱ به صورت کمی ارائه داده‌اند، مقایسه کردند که نشان داد، مقادیر اندازه‌گیری شده مربوط به طول و عرض ناحیه جداشدگی جریان کمتر از مقادیر اندازه‌گیری شده محققان پیشین بوده است. کرمی مقدم و کشاورزی (۱۳۸۶)، ساختار جریان در آبگیرهای ۵۵ و ۹۰ درجه را با گردشگی لبه ورودی بررسی کردند و به این نتیجه رسیدند که ابعاد ناحیه جداشدگی جریان با کاوش میزان آبگیری و در واقع کم شدن نسبت دبی کanal فرعی به دبی کanal اصلی، افزایش می‌یابد. علاوه بر آن در شعاع گردشگی ۲۰ و ۱۰ سانتی‌متر به ترتیب در آبگیرهای ۵۵ و ۹۰

جداشدگی از عرض مؤثر جریان عبوری کاسته، راندمان آبگیری را کاوش و رسوب‌گذاری در دهانه آبگیر را افزایش می‌دهد (جلیلی و همکاران ۱۳۹۰). بنابراین شناخت ابعاد ناحیه جداشدگی جریان در ابتدای کanal‌های آبگیر حائز اهمیت است. صفحات مستغرق سازه‌های مستطیلی نازکی هستند که به لحاظ داشتن زاویه با جهت جریان، ناحیه پرفسار و کم‌فشار در دو طرف آن‌ها ایجاد می‌شود. این صفحات در اوایل دهه هشتاد میلادی توسعه ادگار و کندی (۱۹۸۳) در انسیستیتوی هیدرولیک دانشگاه آیووا به‌منظور حفاظت سواحل خارجی پیچ رودخانه استفاده شد. این ایده با الهام از جریان حلزونی در پیچ رودخانه‌ها و به‌منظور دور کردن رسوبات بستر برای اولین بار در سال ۱۹۴۷ توسعه پوتاپور و پینچکین در دانشکده علوم مسکو شوروی سابق مطرح گردیده و با آزمایش‌های مدل هیدرولیکی تأیید گردید (ونونی ۱۹۷۵). ساده‌ترین و کاربردی‌ترین شکل صفحات مستغرق به صورت مستطیلی است که به خاطر سادگی ساخت و نصب آن‌ها است. ابعاد صفحات مستغرق وابسته به عمق آب در رودخانه یا کanal هست. ارتفاع اولیه آن‌ها حدود ۳ تا ۰/۴ و عمق جریان هست و طول صفحات ۲ تا ۰/۲ برابر ارتفاع آن‌ها است (ادگار و وانگ ۱۹۹۱).

ناکاتو و همکاران (۱۹۹۰) برای اولین بار طرح استفاده از صفحات مستغرق را برای کنترل رسوب در دهانه آبگیر ایستگاه ۳ نیروگاه کانسیل بلافسز واقع بر رودخانه می‌سوزی به وسیله یک مدل آزمایشگاهی ارائه نمودند. نتایج این تحقیق نشان داد که صفحات مستغرق راه حل مناسبی برای کاوش رسوب در دهانه آبگیر هست. وبر و همکاران (۲۰۰۱)، جریان سه‌بعدی در محل یک اتصال ۹۰ درجه را با اندازه‌گیری بردارهای سرعت در سه جهت در نقاط مختلف توصیف کردند. نتایج حاصل از آزمایش‌های آن‌ها نشان داد که ابعاد ناحیه جداشدگی و همچنین چرخش جریان در سطح آب بزرگ‌تر و بیشتر نسبت به کف هست. کشاورزی و حبیبی (۲۰۰۵)، آزمایش‌هایی را روی آبگیر با زاویه‌های ۴۵، ۶۷، ۷۹ و ۹۰ درجه در نسبت دبی‌های مختلف انجام دادند و زاویه بهینه آبگیری را در شرایط کمترین

این تحقیق، بررسی تأثیر نصب صفحات مستغرق در سه آرایش دو ردیفه مرکب، زیگزاکی و موازی و به کارگیری دو آرایش جدید کاجی و پروانه‌ای بر روی ناحیه جداشده‌گی جریان هست.

### مواد و روش‌ها

آزمایش‌ها در آزمایشگاه هیدرولیک گروه مهندسی آب دانشگاه تبریز انجام شد. مدل آزمایشگاهی شامل فلوم اصلی به طول  $8/4$  متر، عرض  $4/0$  متر و ارتفاع  $5/0$  متر به همراه کanal فرعی به عرض  $0/28$  متر، طول  $2$  متر و ارتفاع  $5/0$  متر هست. کف کanal اصلی و آبگیر صلب و بدون شب و بستره غیر فرسایشی بوده است. جنس دیواره‌های دو کanal به منظور مشاهده جریان، شیشه‌ای در نظر گرفته شده است. فلوم در بالا دست شامل آرامکننده جریان ورودی و دارای سیستم تأمین آب شامل مخزنی زیرزمینی است که به یک دستگاه پمپ به قدرت  $100$  اسب بخار و یک مخزن هوایی به ارتفاع  $410$  سانتی‌متر مجهز هست.

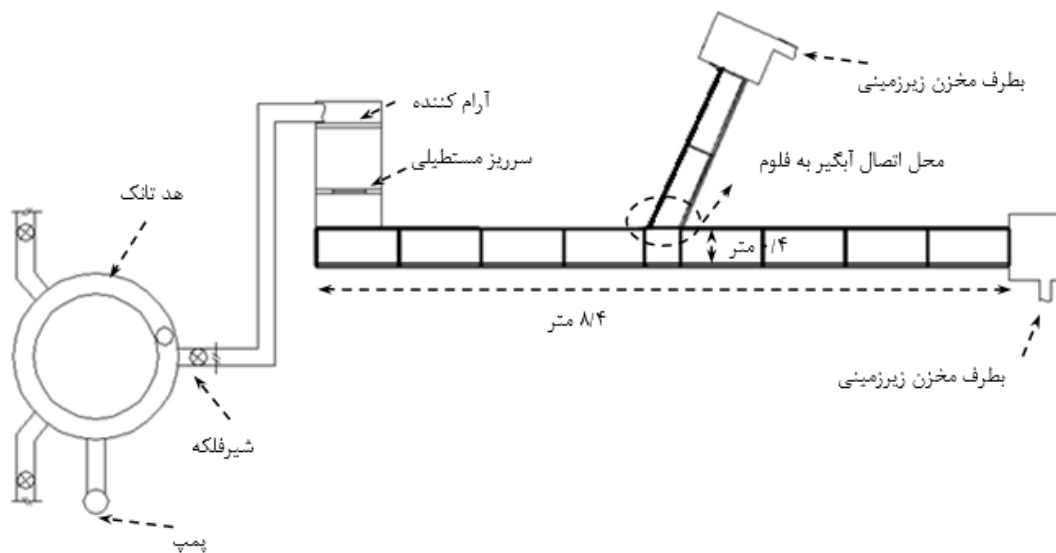
شکل ۱ پلان مدل آزمایشگاهی را نشان می‌دهد.

به منظور بررسی تأثیر صفحه‌های مستغرق بر ابعاد ناحیه جداشده‌گی جریان از صفحاتی با مشخصات مندرج در جدول ۱ و با  $5$  آرایش موازی، زیگزاگ، مرکب، کاجی و پروانه‌ای استفاده شد. لازم به ذکر است ایده استفاده از دو آرایش کاجی و پروانه‌ای برای اولین بار انجام شد و نام آن‌ها با توجه به شکل آرایش مربوطه انتخاب شد. نمائی از نحوه کارگذاری صفحات در شکل ۲ ارائه شده است.

درجه کمینه طول و عرض ناحیه جداشده‌گی اتفاق می‌افتد.

سیدیان و همکاران (۱۳۸۷) شعاع بهینه در ورودی آبگیرهای  $55$  و  $90$  درجه را با استفاده از تغییرات سرعت تعیین کردند. بدین منظور دهانه ورودی آبگیر را از حالت تیز گوشه خارج و سه شعاع  $15$ ،  $20$  سانتی‌متر را مورد آزمایش قرار دادند. نتایج حاکی از انتخاب بهینه شعاع‌های  $20$  و  $10$  سانتی‌متر به ترتیب برای آبگیرهای  $55$  و  $90$  درجه بوده است که در آن‌ها یکنواختی سرعت بیشتر و مقدار جداشده‌گی جریان در ورودی آبگیر کمینه است.

نیکبین و برقعی (۱۳۹۰)، تأثیر صفحات مستغرق را در کنترل ابعاد ناحیه جداشده‌گی جریان در اتصال  $90$  درجه کanal‌ها مورد آزمایش قرار دادند. برای مشاهده ابعاد ناحیه جداشده‌گی جریان از تزریق ماده رنگی پرمنگنات پتاسیم در سطح آب و کف کanal استفاده شد. در ادامه با قرار دادن صفحات در آرایش‌های مختلف در محل تلاقی دو کanal بهترین حالت جهت کاهش ابعاد ناحیه جداشده‌گی جریان به دست آمد. با مقایسه  $10$  آرایش مختلف از چیدمان در ردیف‌های تکی و دوتائی و انجام  $48$  آزمایش پیشنهادهایی در رابطه با چیدمان مناسب صفحات ارائه گردید. در مطالعه حاضر، با توجه به پیشینه تحقیق ذکر شده و با استناد به نتایج آزمایش‌های کرمی مقدم و کشاورزی (۱۳۸۶)، سیدیان و همکاران (۱۳۸۷) و به ویژه کشاورزی و حبیبی (۲۰۰۵) که زاویه بهینه آبگیری را در شرایط کمترین جداشده‌گی، حدود  $55$  درجه به دست آوردند، زاویه اتصال  $55$  درجه برای کanal آبگیر انتخاب شد. هدف از



شکل ۱- پلان مدل آزمایشگاهی.



ج. آرایش مركب

ب. آرایش زیگزاگ

الف. آرایش موازی



د. آرایش کاجی

شکل ۲- آرایش صفحه‌های مستغرق.

ه. آرایش پروانه‌ای

### جدول ۱- پارامترهای متغیر در آزمایش.

پارامترهای آزمایش	محدوده تغییرات و توضیحات
۹۰ دبی در واحد عرض ورودی کanal اصلی ( $m^2 s^{-1}$ )	۰/۰۷۵ - ۰/۰۳۷۵
۹۱ دبی در واحد عرض کanal آبگیر ( $m^2 s^{-1}$ )	۰/۰۵۷ - ۰/۰۳۷
۹۲ نسبت دبی ( $\frac{H_v}{H_v}$ )	۰/۹۹ - ۰/۷۶
V سرعت در ورودی کanal اصلی ( $m s^{-1}$ )	۰/۴۱ - ۰/۳۱
Y₀ عمق آب در ورودی کanal اصلی (Cm)	۱۶/۵۱ - ۱۰/۳۳
α زاویه نصب صفحات مستعرقه	۴۵-۵۵ درجه با در نظر گرفتن محدوده طراحی شده برای آنها
۹۳ فاصله اولین ردیف صفحه تا دیواره آبگیر (Cm)	۱۰ (مطابق با استانداردها کمتر از ۴ برابر ارتفاع صفحات در نظر گرفته می‌شود)
۹۴ فاصله طولی صفحات (Cm)	۴ H <sub>v</sub> , ۳ H <sub>v</sub> , ۲ H <sub>v</sub>
۹۵ فاصله عرضی صفحات (Cm)	۱۰ (محدوده توصیه شده ۲-۳ برابر H <sub>v</sub> )
H <sub>v</sub> ارتفاع صفحات (Cm)	انتخاب ارتفاع صفحات تابع عمق آب و محدوده توصیه شده ۰/۵ تا ۰/۲ بر اساس ارتفاع ۵ سانتی متر و برای دو دبی ۲۵ و ۳۰ (L <sub>s</sub> <sup>-1</sup> ) ارتفاع ۶/۵ سانتی متر در نظر گرفته شد.
L <sub>v</sub> طول صفحات (Cm)	۳ برابر ارتفاع صفحات (محدوده توصیه شده ۲-۳ برابر H <sub>v</sub> )

### نتایج و بحث

پس از انجام ۶۴ آزمایش به منظور مقایسه نتایج هر مدل و تأثیر آن بر کاهش ابعاد ناحیه جداشده جریان اشکال ۲ و ۴ ترسیم شد. همان‌طور که مشاهده می‌شود با افزایش دبی از ۱۵ تا ۳۰ لیتر بر ثانیه ابعاد ناحیه جداشده جریان در همه مدل‌ها افزایش یافته است که به دلیل کاهش دبی ورودی به کanal آبگیر و در واقع کاهش نسبت آبگیری به ازای افزایش دبی ورودی از ۱۵ تا ۳۰ لیتر بر ثانیه هست. زیرا با افزایش دبی ورودی کanal اصلی و به تبع آن افزایش سرعت جریان باعث شده جریان آب سریع‌تر از انتهای فلوم اصلی خارج شود و مقدار دبی در واحد عرض کمتری به سمت کanal آبگیر منحرف گردد و بنابراین نسبت آبگیری کاهش پیدا می‌کند.

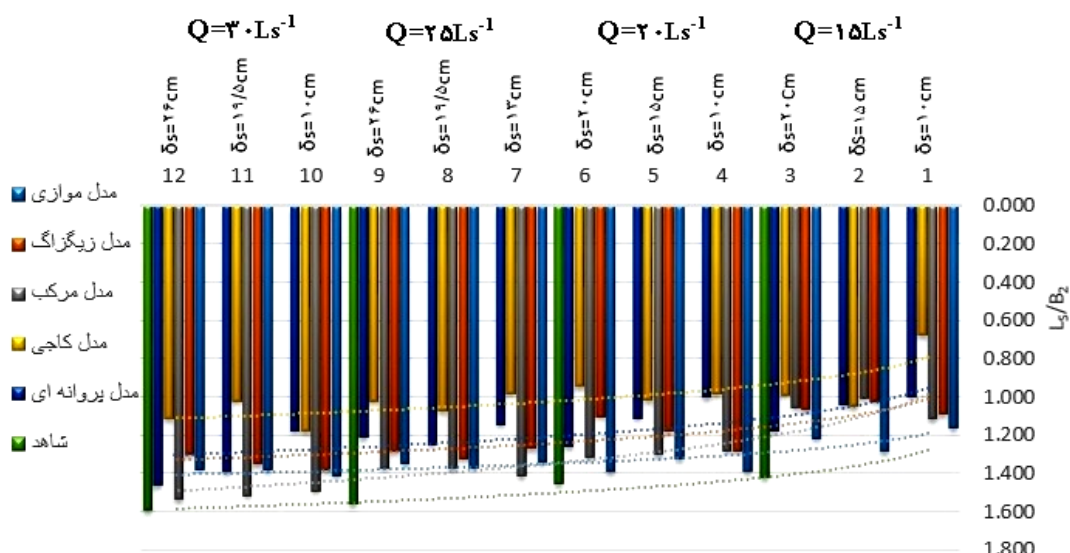
به غیراز مدل مرکب در دبی‌های تقریباً کمتر از ۲۰ لیتر بر ثانیه، در همه مدل‌ها و در هر ۴ دبی ابعاد

برای انجام هر آزمایش ابتدا مقدار دبی ورودی موردنیاز از طریق شیر فلکه تنظیم دبی متصل به مخزن اصلی در کanal برقرار گردید. با تغییر جهت جریان به سمت کanal آبگیر به دلیل مومنتم شدید ایجاد شده در کanal اصلی و فشار منفی اعمالی از طرف آبگیر، جدایی جریان در ورودی کanal آبگیر اتفاق می‌افتد، جداشده از عرض مؤثر آبگیری کاسته و راندمان آن را کاهش می‌دهد. برای اندازه‌گیری مقدار ناحیه جداشده ایجاد شده، ابتدا مقداری خاکاره در بالادست کanal اصلی در مقطع ورودی الک شد، گذر خاکاره در آبگیر مقدار ناحیه جداشده را به خوبی نمایان می‌سازد که با چشم غیر مسلح نیز قابل روئیت است. در این لحظه از نمای بالا و عمود بر منطقه موردنظر، فیلم برداری و سپس فیلم ناحیه جداشده به صورت عکس وارد نرم افزار AutoCAD گردید و طول و عرض ناحیه جداشده دقیقاً اندازه‌گیری و ثبت شد.

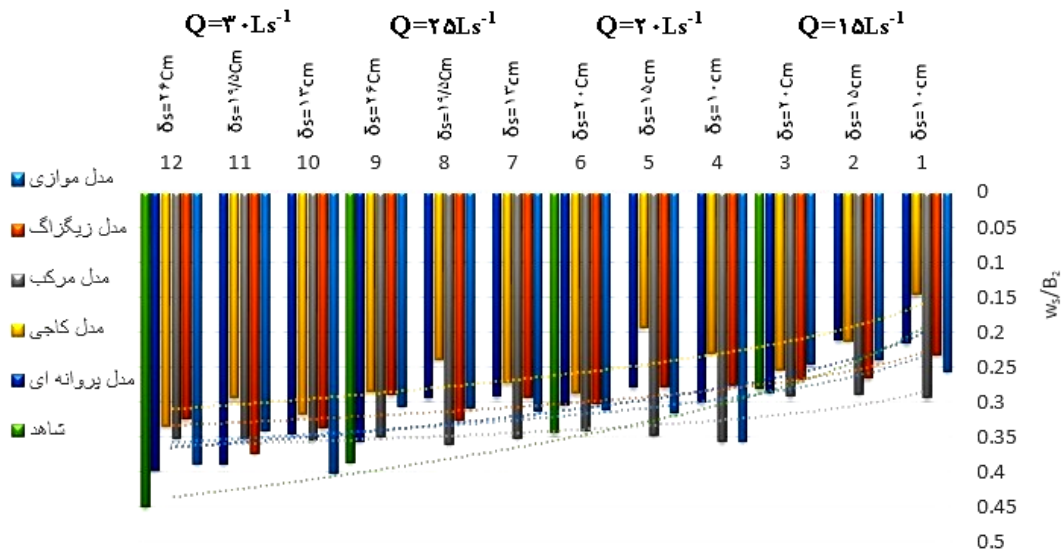
لیتر بر ثانیه تأثیر این دو مدل در کاهش ابعاد ناحیه جداسدگی جریان محسوس‌تر است. بعد از آن‌ها مدل‌های موازی و پروانه‌ای در الوبیت‌های بعدی قرار گرفتند که عملکرد مشابهی داشتند. مدل مرکب تنها در دبی‌های ۲۰ و ۲۵ لیتر بر ثانیه و در دو فاصله طولی ۲۰ و ۱۵ سانتی‌متر به‌ازای دبی ۲۰ لیتر بر ثانیه توانسته است عرض ناحیه جدایش را نسبت به آزمایش‌های شاهد کاهش دهد.

با توجه به نتایج و مشاهده اشکال ۳ و ۴، بهترین مدلی که بتواند ابعاد ناحیه جداسدگی جریان را در ابتدای ورودی کانال‌های آبگیر کاهش دهد، آرایش کاجی انتخاب می‌شود با این آرایش علاوه بر ایجاد پروفیل طولی مناسب در کanal اصلی و فرعی و همچنین کاهش اغتشاش‌ها در محل آبگیری که در آزمایشگاه با چشم غیرمسلح قابل مشاهده بود، ابعاد ناحیه جدایش کاهش یافته است.

ناحیه جداسدگی جریان کمتر از ابعاد آن در آزمایش‌های شاهد و بدون نصب صفحات مستغرق به‌دست آمد. این کاهش برای طول ناحیه جداسدگی در حالت کلی و با توجه به خطوط همبستگی نشان داده شده در شکل ۳، در مدل‌های کاجی، پروانه‌ای و زیگزاگ بیشتر از نمونه‌های شاهد بوده است. همچنین مدل‌های موازی و مرکب تقریباً عملکرد نزدیک به هم داشته‌اند. بدین‌صورت که در دبی‌های کمتر از ۲۰ لیتر بر ثانیه، مدل مرکب و در دبی‌های بیشتر از ۲۰ لیتر بر ثانیه، مدل موازی تأثیر بیشتری در طول ناحیه جداسدگی جریان از خود نشان دادند. همچنین مقایسه نتایج عرض ناحیه جداسدگی جریان مطابق با شکل ۴ نشان می‌دهد کاهش عرض ناحیه مذبور در مدل‌های کاجی و زیگزاگ بیشتر و به عنوان مثال به ترتیب حدود ۳۰٪ و ۲۲٪ در دبی ۳۰ لیتر بر ثانیه نسبت به آزمایش‌های شاهد دبی مذکور کاهش داشته است. با افزایش دبی از ۱۵ تا ۳۰



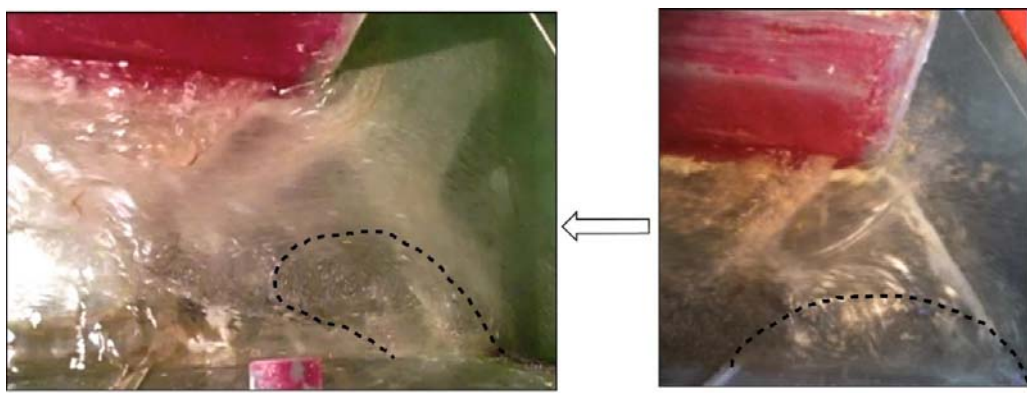
شکل ۳- طول بی‌بعد ناحیه جداسدگی جریان در آرایش‌ها و دبی‌های مختلف.



شکل ۴- عرض بی بعد ناحیه جداشده جریان در آرایش‌ها و دبی‌های مختلف.

جهت عرضی با ایجاد جریان‌های گردابهای به سمت کanal آبگیر منحرف شود. افزایش دبی منحرف شده به آبگیر در این آرایش از پیشروی عرض و طول ناحیه جداشده‌گی در دهانه ورودی آبگیر کاسته و شکل متفاوتی از ناحیه جداشده‌گی جریان (شکل ۵) نسبت به سایر آرایش‌های صفحات مستغرق را در دهانه کanal به وجود آورده است.

این کاهش به طور متوسط (متوسط سه فاصله طولی در هر دبی) در دبی‌های ۱۵، ۲۰، ۲۵ و ۳۰ لیتر بر ثانیه به ترتیب و برای طول ناحیه جداشده٪ ۳۶/۲۴٪، ۳۲/۵۲٪، ۳۲/۳۷٪ و ۳۰/۷۲٪، ۳۴/۳۷٪، ۳۱/۳۳٪ و ۳۰٪ نسبت به جداشده‌گی ۲۷/۴۶٪، ۲۷/۴۶٪، ۳۱٪ و ۳۱٪ نسبت به آزمایش‌های شاهد بدون نصب صفحات مستغرق بوده است. نوع چیدمان صفحات مستغرق در این مدل باعث شده است که جریان پس از برخورد به صفحات در



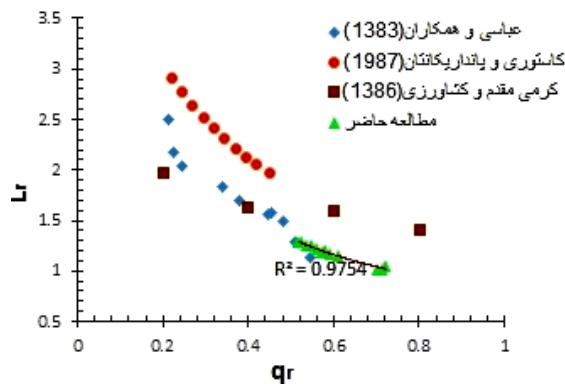
الف. ناحیه جداشده در دبی شاهد ۲۰ لیتر بر ثانیه  
ب. ناحیه جداشده در آرایش کاجی،  $20 \text{ cm}$  و  $20 \text{ L/S}$

شکل ۵- ابعاد ناحیه جداشده جریان.

ابتدای کanal آبگیر جانبی پرداختند. در مطالعات آن‌ها پارامتر  $Wr$  معرف  $\frac{W}{B_1}$  و پارامتر  $Lr$  معرف  $\frac{L}{B_1}$  است، که

عباسی و همکاران (۱۳۸۳) و کاستوری و پانداریکانتان (۱۹۸۷) به تعیین ابعاد ناحیه جداشده در

(به عنوان مثال مدل کاجی) با نتایج این محققین (اشکال ۶ و ۷) مشاهده می‌شود که با افزایش نسبت دبی، ابعاد ناحیه جداشدگی کاسته می‌شود که با روند ارائه شده توسط محققین هم خوانی دارد. متفاوت در نظر گرفتن محدوده نسبت دبی در آزمایش‌های حاضر و متغیر در نظر گرفتن ارتفاع صفحات مستغرق بر حسب عمق آب به‌ازای دبی‌های ورودی از جمله دلایلی است که تفاوت‌های موجود در نتایج پژوهش حاضر را با نتایج سایر محققین در پی داشته است.

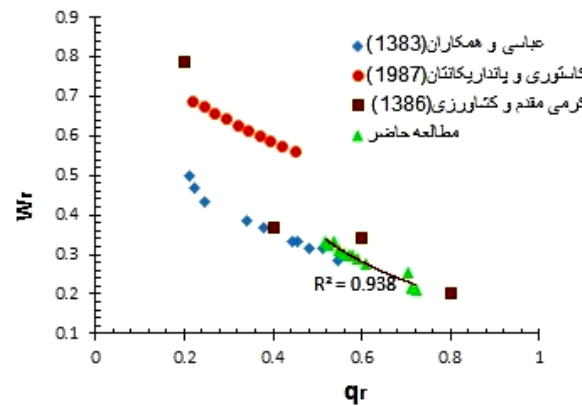


شکل ۷- مقایسه طول بی بعد ناحیه جداشدگی در مطالعه حاضر با مطالعه محققین.

و هم در فرعی افزایش می‌یابد. برای مثال در دبی ۳۰ لیتر بر ثانیه عمق آب در کمترین حالت حدوداً ۱/۵ سانتی‌متر بیشتر از حالت بدون نصب صفحات به‌دست آمد.

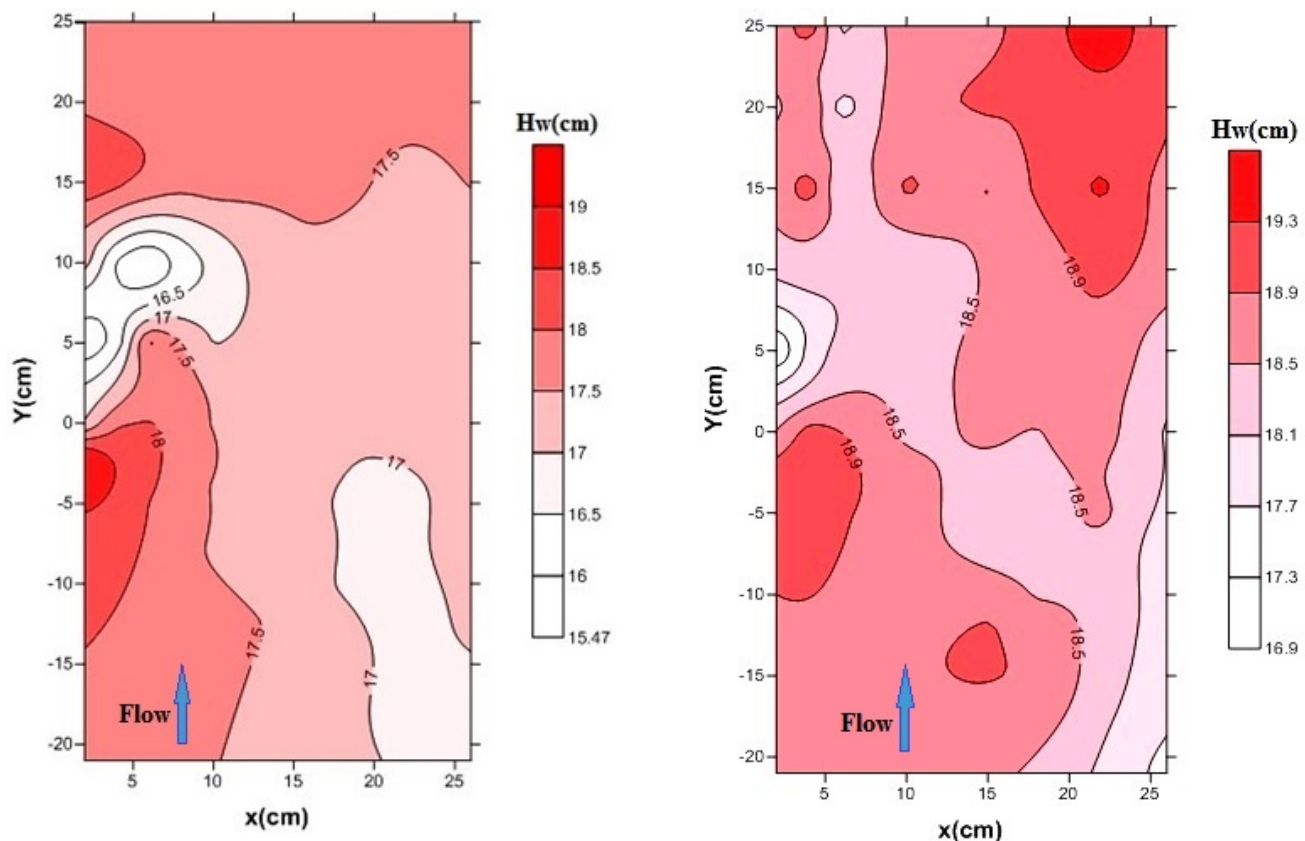
شاخص شکل بیان‌کننده یک حالت کلی از شکل ناحیه جداشدگی هست. طبق تحقیقات قبلی برای اتصال ۹۰ درجه مقدار میانگین این شاخص عددی بین ۰/۱۷ تا ۰/۱۹ است (قبادیان و همکاران، ۱۳۸۵). بررسی نتایج طول و عرض ناحیه جداشدگی در تمامی مدل‌ها، نشان داد روند تغییرات نسبت عرض به طول ناحیه جداشدگی تقریباً بین دو مقدار ۰/۲ تا ۰/۲۸ هست (شکل ۱۰).

در آن  $W_s$  عرض ناحیه جداشدگی جریان،  $L_s$  طول ناحیه جداشدگی و  $B_s$  عرض کanal آبگیر هست. همچنین کرمی مقدم و کشاورزی (۱۳۸۶) نیز پژوهشی مشابه با کار آن‌ها را انجام دادند با این تفاوت که هدف مطالعه آن‌ها بررسی تغییر شعاع دهانه آبگیری و تأثیر آن بر روی ابعاد ناحیه جداشدگی جریان بود و پارامتر  $R/W_b$  به عنوان پارامتر بی بعد معرف گردشیدگی لبه ورودی دهانه آبگیر معرفی شد که در آن  $R$  شعاع دهانه آبگیر و  $W_b$  عرض کanal آبگیر و برابر ۲۵ سانتی‌متر هست. با مقایسه نتایج به‌دست‌آمده از پژوهش حاضر

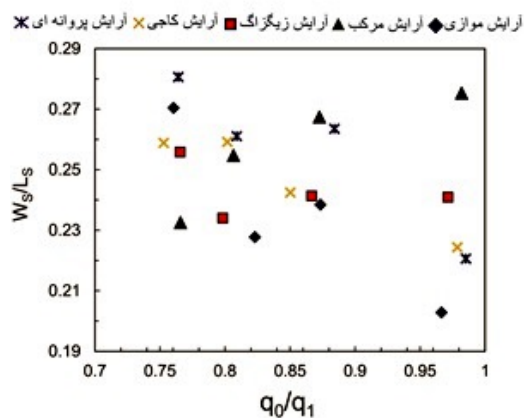


شکل ۶- مقایسه عرض بی بعد ناحیه جداشدگی در مطالعه حاضر با مطالعه محققین.

به‌منظور بررسی شکل پروفیل سطح آب در کanal آبگیر در محدوده ناحیه جداشدگی جریان، الگوی سه‌بعدی جریان در کanal فرعی برای آرایش کاجی و به‌طور نمونه در دبی ۲۵ لیتر بر ثانیه با استفاده از نرم‌افزار Surfer رسم و با حالت بدون کاربرد صفحات مستغرق در آزمایش شاهد دبی مربوطه مقایسه شد (شکل ۸). لازم به ذکر است  $H_w$  عمق آب در نقاطی مشخص در کanal و موقعیت  $X$  و  $Y$  در شکل ۹ مشخص شده است. همان‌طور که مشاهده می‌شود در آرایش کاجی پایین‌افتادگی سطح آب در هنگام چرخش جریان به‌سمت کanal آبگیر، کمتر از حالت بدون نصب صفحات مستغرق است. به‌طورکلی با کاربرد این نوع از صفحات عمق آب هم در کanal اصلی

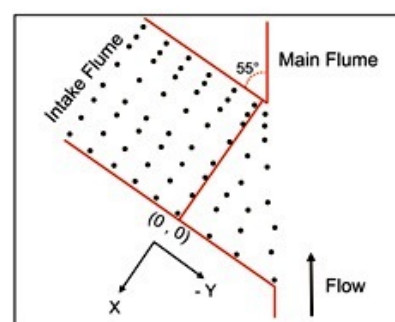
ب- آزمایش شاهد در  $Q=30 \text{ L/S}$ الف- آرایش کاجی به فاصله  $13 \text{ cm}$  و  $Q=20 \text{ L/S}$ 

شکل ۸- پروفیل سه بعدی سطح آب در کanal آبگیر.



شکل ۱۰- شاخص شکل ناحیه جداشده جهت اندازه‌گیری نسبت دبی خروجی از کanal فرعی به دبی ورودی اصلی.

شکل ۹- مکان نقاط در نظر گرفته شده جهت اندازه‌گیری عمق آب در کanal آبگیر.



### نتیجه‌گیری کلی

دبی‌های ۱۵، ۲۰، ۲۵ و ۳۰ لیتر بر ثانیه برای طول ناحیه جداشدگی به ترتیب  $36/34\%$ ،  $22/53\%$ ،  $34/37\%$  و  $30/72\%$  و برای عرض ناحیه جداشدگی به ترتیب  $21/32\%$ ،  $31\%$ ،  $27/46\%$ ،  $30\%$  به دست آمد. شاخص شکل ناحیه در تمامی مدل‌ها بین دو مقدار  $0/2$  تا  $0/28$  محاسبه شد.

با افزایش دبی ابعاد ناحیه جداشدگی جریان در همه مدل‌ها افزایش می‌یابد که به دلیل کاهش دبی ورودی به کانال آبگیر و در واقع کاهش نسبت آبگیری به ازای افزایش دبی ورودی از ۱۵ تا ۳۰ لیتر بر ثانیه هست.

مدل کاجی به عنوان بهترین مدل کاهش‌دهنده ابعاد ناحیه جداشدگی جریان انتخاب شد. این کاهش در

### منابع مورد استفاده

جلیلی ح، حسین‌زاده دلیرع و فرسادی‌زاده، ۱۳۹۰. تأثیر هندسه دهانه آبگیر بر مقدار و الگوی رسوب‌گذاری در آبگیر جانبی. مجله پژوهش آب ایران، سال ۵ شماره ۹، صفحه‌های ۱ تا ۱۰.

سیدیان س، کرمی مقدم و شفاعی‌بجستان، ۱۳۸۷. تعیین شعاع بهینه در ورودی آبگیرهای ۵۵ و ۹۰ درجه با استفاده از تغییرات سرعت جریان. هفتمین کنفرانس هیدرولیک ایران، ۲۱ تا ۲۳ آبان. دانشگاه صنعت آب و برق شهید عباسپور، تهران.

عباسی ع، قدسیان م، حبیبی م و صالحی نیشابوری ع، ۱۳۸۳. بررسی آزمایشگاهی ابعاد ناحیه گردابی در ابتدای آبگیرهای جانبی. پژوهش و سازندگی در منابع طبیعی. دوره ۱۷، شماره ۶۲، صفحه‌های ۲۸ تا ۴۴.

قبادیان ر، شفاعی‌بجستان م و موسوی جهرمی س، ۱۳۸۵. بررسی آزمایشگاهی جداشدگی جریان در محل تلاقی رودخانه‌ها برای جریان زیر بحرانی. تحقیقات منابع آب ایران، سال ۲، شماره ۲، صفحه‌های ۶۷ تا ۷۷.

کرمی مقدم ک و کشاورزی ع، ۱۳۸۶. مطالعه ساختار جریان در آبگیرهای ۵۵ و ۹۰ درجه با گردش‌گی لبه ورودی. مجموعه مقالات سومین کنگره ملی مهندسی عمران. ۱۱ تا ۱۳ اردیبهشت. دانشگاه فنی، دانشگاه تبریز.

منتصری ح، قدسیان م و دهقانی ا.ا، ۱۳۸۸. مطالعه آزمایشگاهی میدان جریان اطراف صفحات مستغرق مقابله دهانه آبگیر جانبی در کanal U شکل. فصلنامه علوم کشاورزی و منابع طبیعی. جلد ۱۶، ویژه نامه ۲، صفحه‌های ۲۲۱ تا ۲۲۲.

نیک بین س، برقعی س، ۱۳۹۰. بررسی آزمایشگاهی تأثیر صفحات در کنترل ابعاد ناحیه جداشدگی در اتصال ۹۰ درجه کanal‌ها. ششمین کنگره ملی مهندسی عمران. ۶ و ۷ اردیبهشت ماه. دانشگاه سمنان.

Kasthuri B and Pundarikanthan NV, 1987. Discussion on separation zone at open-channel junction. J Hydr Engng ASCE 113(4): 543-548.

Keshavarzi A and Habibi L, 2005. Optimizing water intake angle by flow separation analysis. J Irrig and Drain Engng ASCE 54(5): 543-552.

Nakato T Kennedy JF and Bauerly D, 1990. Pump-station intake-shoaling control with submerge vanes. J Hydr Engng ASCE 116(1): 119-128.

Odgaard JA and Kennedy JF, 1983. Bed riverbank protection by submerged vanes. J Hydr Engng ASCE 109(8): 1161-1173.

Odgaard JA and Wang Y, 1991. Sediment management with submerged vanes, I: Theory. J Hydr Engng ASCE 117 (3): 267-283.

Ramamurthy A S, Junying Q and Diep V, 2007. Numerical and experimental study of dividing open-channel flows. J Hydr Engng ASCE 133 (10): 1135-1144.

Samimi Behbahan T, 2011. Laboratory investigation of submerged vane shapes effect on river banks protection. Australian J Basic Appl Sci 5(12): 1402-1407.

Vanoni V A, 1975. Sedimentation Engineering. ASCE 745p.

Weber LJ, Schumate ED and Mawer N, 2001. Experimental study on flow at a  $90^\circ$  open-channel Junction. J Hydr Engng ASCE 127(5): 340-350.